

## ΚΑΤΟΛΙΣΘΗΤΙΚΑ ΦΑΙΝΟΜΕΝΑ ΣΤΙΣ ΑΚΤΕΣ ΤΗΣ ΠΕΡΙΟΧΗΣ ΕΡΑΤΕΙΝΗΣ/ΤΟΛΟΦΩΝΑ (ΔΥΤ. ΚΟΡΙΝΘΙΑΚΟΣ ΚΟΛΠΟΣ) ΛΟΓΩ ΤΟΥ ΣΕΙΣΜΟΥ ΤΩΝ 6.1R ΤΟΥ 1995\*

ΠΑΠΑΘΕΟΔΩΡΟΥ, Γ.<sup>1</sup>, ΧΑΣΙΩΤΗΣ, Θ.<sup>1</sup>, ΤΡΙΨΑΝΑΣ, Ε.<sup>2</sup> & ΦΕΡΕΝΤΙΝΟΣ, Γ.<sup>1</sup>

### ΠΕΡΙΛΗΨΗ

Ο σεισμός των 6.1R του 1995 προκάλεσε ένα πλήθος καταστροφικών φαινομένων στο Δυτ. Κορινθιακό κόλπο. Στην παρούσα εργασία εξετάζονται τα κατολισθητικά φαινόμενα που έλαβαν χώρα στην περιοχή Ερατεινής/Τολοφώνα, τα οποία ανατένουνται επάνω σε δελταϊκές αποθέσεις και διαυγίνονται σε φοίς κορυμάτων και περιστροφές τεμαχών. Οι κύριοι μηχανισμοί που έδρασαν ήταν μάλλον η αύξηση των διαταρτικών τάσεων, λόγω του σεισμού, κατά μήκος μίας συγκεκριμένης επιφάνειας αλλά και η πιθανή ωριστοποίηση στρώσεων έγγιμάτων.

### ABSTRACT

On June 15<sup>th</sup>, 1995 a locally destructive earthquake of magnitude Ms=6.1 on the Richter scale occurred offshore, 7.5km NNE of the town of Aigion in the western Gulf of Corinth (Greece). An offshore survey along the NNW coast of the Gulf of Corinth, using a 3.5kHz subbottom profiling system and a sonar seafloor imaging system has shown that the earthquake caused submarine sediment failures, in at least three sites in the nearshore zone of the Tolofonas fan delta. The sediment failure sites were located within a radius of about 9km from the epicentre. The sediment deformation types identified at the failure sites consist of rotational slides and debris flows.

The rotated blocks sites occupy an area of  $1.5 \times 10^5$  and  $1.7 \times 10^5 \text{m}^2$ . The rotated blocks have affected the uppermost 7m of the well layered foreset unit which has a dip between 1A and 4A. The causative mechanism of the block rotational slides is considered to be deformation of the underlying sediments caused by remoulding and/or liquefaction.

The areal size of the debris flow sites are about 38000 and 20000m<sup>2</sup>. The debris flows have affected, in average, the upper 5-6m of the well layered foreset fan delta deposits. The failure planes were all bedding planes having a gradient less than 4A. The main morphological features within the debris flows area are: (i) a head scarp, (ii) a slide plane / evacuation zone where detached sediment blocks are locally detected, (iii) a depositional lobe whose surface is characterized by closely spaced pressure ridges and (iv) a distal area covered by rafted blocks. The debris flows were probably initiated by sliding and remoulding of the translated sediment mass. The sliding could have been caused either as a result of the stress increase acting on the sediments or as a shear strength reduction of the sediments through remoulding and/or liquefaction.

The study of historical documents reveals that sediment failure like those described above have also occurred at least four times during the past 2500 years in the same and nearby locations. Therefore, it is suggested that they could be repeated in the future by any earthquake event with a magnitude greater than 6R, depending upon the proximity of the site to the earthquake epicentre.

**KEY WORDS:** earthquake hazards, submarine debris flows and rotational blocks. Western Corinth Gulf

\* SUBMARINE GRAVITATIVE MASS MOVEMENTS ALONG THE ERATINI/TOLOFONAS BEACH (NW CORINTH GULF) CAUSED BY THE 6.1R EARTHQUAKE IN 1995.

<sup>1</sup> Εργαστήριο Θαλάσσιας Γεωλογίας & Φυσικής Ωκεανογραφίας (Ε.ΘΑ.Γ.Ε.Φ.Ω.), Τμήμα Γεωλογίας, Πανεπιστήμιο Ηαρόν, 26110 Ρίο Ηαρός

<sup>2</sup> Ψηφιακή Βιβλιοθήκη "Θεόφραστος" - Τμήμα Γεωλογίας, Α.Π.Θ.

Ηαρονια διεύθυνση: Dept. of Oceanography, A&M TEXAS UNIVERSITY.

## **1. ΕΙΣΑΓΩΓΗ - ΙΣΤΟΡΙΚΗ ΑΝΑΣΚΟΠΗΣΗ ΚΑΤΟΛΙΣΘΗΤΙΚΩΝ ΦΑΙΝΟΜΕΝΩΝ ΤΟΥ ΔΥΤ. ΚΟΡΙΝΘΙΑΚΟΥ**

Οι ακτές του δυτικού Κορινθιακού κόλπου έχουν επανειλλημένα πληγεί από κατολισθητικά φαινόμενα στο παρελθόν.

Η πρώτη περιγραφή κατολισθητικών φαινομένων αφορά τις ακτές της Αιγιαλείας, οι οποίες είναι διαμισφωμένες από αποθέσεις αλλοιοβιακών ριτιδίων, προέρχεται από τους Πανανία, Ερασοθένη και Στράβωνα και σχετίζεται με την καταστροφή της Αρχαίας Ελίκης από το σεισμό του 373π.Χ.

Σύμφωνα με τις αναφορές που σώζονται, φαίνεται ότι η αρχαία Ελίκη βιθίστηκε με αρχό φυσικό, περίπου 20m κάτω από τη θάλασσα, λόγω μίας κατολίσθησης που προκλήθηκε από έναν προσεισμό. Ο κύριος σεισμός που επικολούθησε λίγο αργότερα, προκάλεσε ένα παλιφοινικό κύμα που ολοκλήρωσε τις καταστροφές όχι μόνο της Ελίκης αλλά και της ευρύτερης περιοχής (αρχαία πόλη Βούρα).

Οι ακτές της Αιγιαλείας επλήγησαν άλλη μία φορά από κατολισθητικά φαινόμενα κατά το σεισμό των 6.7R του 1861, όταν μία επιφήνης ζώνη γης, μήκους 13km και μέσου εύρους 200m, η οποία εκτείνονταν από τη Τέμενη μέχρι το Διακρότο καταβιθίστηκε με αρχό φυσικό και μόνο τα δένδρα παρέμειναν πάνω από την επιφάνεια της θάλασσας.

Το 1965, κατά το σεισμό των 6.5R, κατολισθητικά φαινόμενα εκδηλώθηκαν στην ακτή της Ερατεινής. Σύμφωνα με τον Ambraseys (1967), 1000m<sup>2</sup> κατά μήκος της παραλίας βιθίστηκαν διπλά κάτω από τη στάθμη της θάλασσας. Ως αποτέλεσμα αυτού του γεγονότος και πιθανώς άλλων κατολισθήσεων, ένα παλιφοινικό κύμα ύψους 3m κάλυψε την ακτή και πληυρίστηκε το κατώτερο τμήμα της Ερατεινής. Επιπλέον παρατηρήθηκαν φαινόμενα φεινοτοποίησης σε θέσεις γύρω από την ακτή. Πρόπει επίσης να σημειωθεί ότι, σύμφωνα με πληροφορίες των πραγάδων της περιοχής, οι έντονες βροχοπτώσεις του 1955 και 1962 προκάλεσαν μεταβολές των βαθών οι οποίες έφταναν τα 14m (σύμφωνα με τη σύγχρονη βιθομετρική τομή του 1936 και 1965).

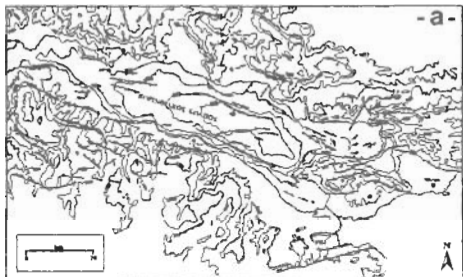
Το 1995 κατά το σεισμό των 6.1R στο Αύγιο, οι ακτές του Αιγίου, Κορινθιακού κόλπου επλήγησαν για άλλη μία φορά από κατολισθήσεις στις περιοχές: (α) του υποθιαλάσσιου δέλτα του Μεγανίτη στο Λίγιο και (β) των δελταϊκών αποθέσεων του ποταμού Σελινούντα και Κερανίτη, στα Νικολένια. Τα φαινόμενα τα οποία έλαβαν χώρα σχετίζονταν με φοές κορημάτων, περιορισμένες ολισθήσεις τεμαχών ίζημάτων και σύνθετες ολισθήσεις με εφιππεύσεις τεμαχών και πτυχώσεις στον πόδι των ολισθήσεων (Papatheodorou and Ferentinos, 1997). Το πάχος των ίζημάτων που αποκαλήθηκε και μετακινήθηκε ήταν της τάξης των 5-8m, ενώ οι επιφάνεις ολισθήσεων είχαν κλίσεις από 1 έως και 21°.

Το κατολισθητικό φαινόμενο όμως το οποίο προκάλεσε τις μεγαλύτερες καταστροφές στην παρακάτια ζώνη του δυτικού Κορινθιακού κόλπου, προκλήθηκε ύστερα από έντονες βροχοπτώσεις. Το Φεβρουάριο του 1963, ένα μεγάλο τμήμα του δέλτα του Ερινέου ποταμού (Καμάρες), αποκαλήθηκε και προκάλεσε ένα παλιφοινικό κύμα το οποίο εισέβαλε μέσα στη στεριά κατά 50 έως 100m (Γαλανόπουλος, κ.α., 1964). Η κατολίσθηση αυτή αποδόθηκε στις έντονες βροχοπτώσεις, οι οποίες προκάλεσαν άνοδο της στάθμης του υδροφόρου οργίζοντα και στη συνέχεια της πίεσης του νερού των πτώσων των ίζημάτων, καθώς καμία σεισμική δραστηριότητα δεν καταγράφηκε ποτέ ή κατά τη διάρκεια της κατολίσθησης.

Άλλοι των συχνών καταστροφικών φαινομένων που, όπως έχει διαπιστωθεί, εκδηλώνονται στις παρακάτιες περιοχές του δυτικού Κορινθιακού κόλπου μετά από ισχυρούς σεισμούς, η τεχνική εταιρεία Α.Δ.Κ. Σύμβουλοι Μηχανικοί Α.Ε., στα πλαίσια σχετικής μελέτης που ανέλαβε από το Υ.Π.Ε.ΧΩ.Δ.Ε., ανέθεσε στο Ε.Θ.Α.Γ.Ε.Φ.Ω. την εκπόνηση μίας θαλάσσιας γεωφυσικής έρευνας κατά μήκος των αλλοιοίμενων ακτών Ερατεινής - Τολοφώνα με οπού τον εντοπισμό και χωρογραφηση πιθανών παρακάτιων κατολισθητικών φαινομένων που πυροδοτήθηκαν από το σεισμό του Αιγίου (6.1R) το 1995. Στην εργασία αυτή παρουσιάζονται συνοπτικά τα αποτελέσματα που προέκυψαν από την προσαναφεθείσα έρευνα.

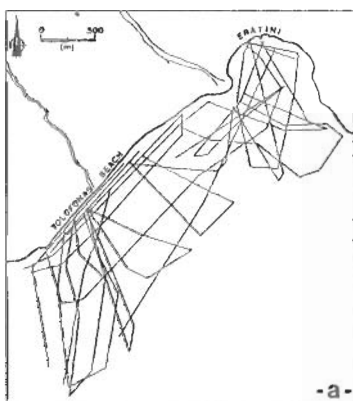
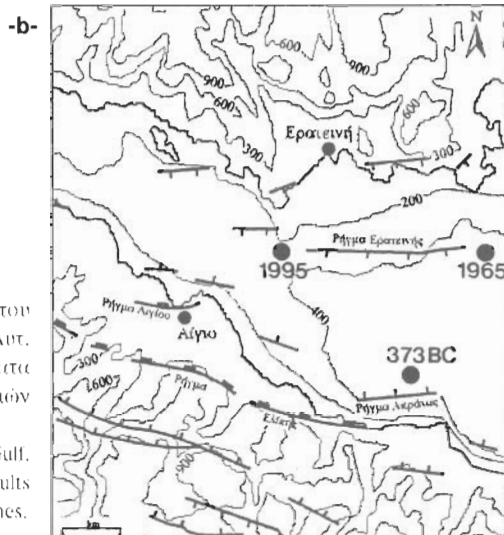
## 2. ΓΕΩΛΟΓΙΑ ΚΑΙ ΣΕΙΣΜΙΚΟΤΗΤΑ ΤΗΣ ΕΥΡΥΤΕΡΗΣ ΠΕΡΙΟΧΗΣ

Ο Κορινθιακός κόλπος είναι μία επιφήνης ημίώλειαστη θαλάσσια λεκάνη, μήκους περίπου 100km, μέσου εύρους 20km και μέγιστου βάθους περίπου 850m. Ο κόλπος, από γεωλογικής πλευράς, αποτελεί μία “εν εξελίξει” (ενεργή) τεκτονική τάφρο, ΑΒΔ-ΑΝΑ διεύθυνσης (Εικ. 1a) της οποίας οι πλευρές οριοθετούνται από μία σειρά επάλληλων (en-echelon) ενεργών φραγμάτων ΑΒΔ-ΑΝΑ διεύθυνσης. Στο δυτικό Κορινθιακό κόλπο τα πιο γνωστά από αυτά είναι (Εικ. 1b) τα φίγματα της Ελίζης, της Ερατεινής και του Αιγίου, η δραστηριοτούμηση των οποίων είχε ως αποτέλεσμα τους σεισμούς, αντίστοιχα, των 6.7R το 1861, των 6.5R το 1965 και των 6.1R το 1995.



**Εικ. 1:** (a) Τεκτονικός και βαθμειακός χάρτης του Κορινθιακού κόλπου. (b) Τεκτονικός χάρτης του Δυτ. Κορινθιακού κόλπου στον οποίο φαίνονται τα κύρια φίγματα της περιοχής και τα επίκεντρα των ισημαντικότερων σεισμών κατά τους τετοράκούς χρόνους.

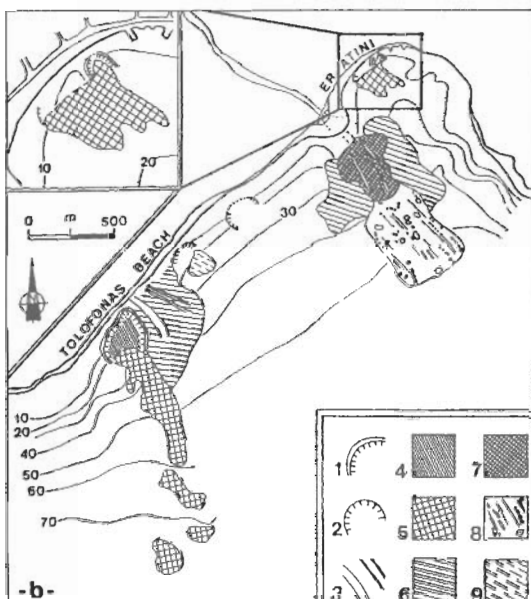
**Fig. 1:** (a) Tectonic and bathymetric map of the Corinth Gulf. (b) Tectonic map of the W. Corinth Gulf showing the major faults and the epicenters of the main earthquakes during historic times.



**Εικ. 2:** (a) Χάρτης στον οποίο φαίνονται οι ποδοίς γεωφυσικής διασούσπιος. (b) Χάρτης γεωλογικών επικινδυνοτήτων. 1: μέτωπο κεφαλής, 2: θαμμένο μέτωπο κεφαλής, 3: κανάλια, ανάσα, 4: επιφάνεια ολιοθησίς / ζώνη επικέντρωσης, 5: απόθεση ροής κοριμάτων, 6: περιστροφομενα τεμάχια έγραμάτων, 7: περιοχή διαβρούσης λόγω φριμάτων στυκνότητας, 8: περιοχή αποθέσεων ροών κοριμάτων και φριμάτων τυκνότητας και 9: θαμμένες αποθέσεις ροών κοριμάτων.

**Fig. 2:** (a) Map showing the marine geophysical survey lines. (b) Offshore geological hazards map. 1: head scarp, 2: buried scarp, 3: channels, chutes, 4: slide plane/evacuation zone, 5: debris flow deposit, 6: rotated sediment blocks, 7: erosional area due to high density currents, 8: debris flow and density currents depositional area and 9: buried debris flow deposits.

Ψηφιακή Βιβλιοθήκη "Θεόφραστος" - Τμήμα Γεωλογίας Α.Π.Θ.



Το ωγήμα της Ελίκης είναι επίσης κατά πάσα πιθανότητα υπεύθυνο για τον πολύ ισχυρό σεισμό των 7.3R το 373π.Χ., ο οποίος κατέστρεψε την πόλη της Ελίκης.

Ο Δυτικός Κορινθιακός χαρακτηρίζεται γενικά από έντονη σεισμικότητα (Papazachos and Comninakis, 1982). Είναι χαρακτηριστικό ότι από το 1900 μέχρι σήμερα έχουν καταγραφεί 44 σεισμοί μεγέθους μεγαλύτερου από 4.5R.

Τα ωγήματα της ενδιαφερούσας περιοχής, όπως προκύπτει από ειπειρικούς τύπους μπορεί να δώσουν σεισμούς μεγέθους 5.0 έως 6.7R (Doutsos and Poulimenos, 1992).

Η ακτογραφική Ερατεινής - Τολοφώντα είναι διαμορφωμένη πάνω σε ένα αλλοιωματικό ωρίδιο το οποίο έχει σχηματιστεί εντός μίας ΒΒΔ-ΝΝΑ κοιλάδας, οι πλαγιές της οποίας συνίστανται από Ησοκανικό φλάσχη.

Το αλλοιωματικό ωρίδιο έχει δημιουργηθεί κατά τη διάρκεια του Τεταρτογενούς και διακρίζεται από 3 χειμάρρους. Ο κυριότερος από αυτούς είναι ο χείμαρρος που εκβάλλει δυτικά της Ερατεινής (χειμ. Ερατεινής) και ο χείμαρρος που εκβάλλει ανατολικά της Αγ. Παρασκευής (χειμ. Τολοφώνα). Σήμερα κατόπιν ανθρώπινης παρέμβασης μόνο ο χείμαρρος της Ερατεινής είναι ενεργός. Ο χείμαρρος του Τολοφώνα έχει αποκοπεί από τις πηγές τροφοδοσίας του.

### 3. ΜΕΘΟΔΟΙ ΕΡΕΥΝΑΣ

Η έρευνα εκτελέστηκε σε δύο φάσεις. Η πρώτη πραγματοποιήθηκε 15 ημέρες μετά το σεισμό των 6.1R (15/6/1995) με στόχο την αποτύπωση των θαλάσσιων κατολισθητικών φαινομένων οτις περιοχές του Αιγαίου, της παραλίας των Νικολέττων και της Ερατεινής. Η δεύτερη εκτελέστηκε τον Ιούνιο του 1997 και επικεντρώθηκε στην περιοχή Ερατεινής/Τολοφώνα. Κατά τη διάρκεια της πρώτης φάσης έρευνών χρησιμοποιήθηκε τομογράφος υποδομής πυθημένα τύπου 3.5kHz (O.R.E.) και υποβρύχιο κατευθυνόμενο όχημα τύπου BENTHOS MKII, ενώ κατά τη διάρκεια της δεύτερης φάσης χρησιμοποιήθηκε τομογράφος τύπου 3.5kHz (O.R.E.) καθώς και ηχοβολιστής πλευρικής οάσισης (side scan sonar) τύπου E.G.&G. Για τον προσδιορισμό της θέσης και την πλοϊγηση του σκάφους χρησιμοποιήθηκε δορυφορικό σύστημα προσδιορισμού (G.P.S.) τύπου MAGNAVOX MX200, η αρχίβεια του οποίου ήταν της τάξης των 30-50m (Εικ. 2a).

### 4. ΑΠΟΤΕΛΕΣΜΑΤΑ - ΣΥΖΗΤΗΣΗ

**ΒΥΘΟΜΕΤΡΙΑ:** Η βυθομετρία της περιοχής έρευνας, δείχνει ότι η αιγιαλίτης ζώνη διακρίνεται σε τρεις μορφολογικές ενότητες: (α) την ανάβαθμή ζώνη, (β) το πρανές και (γ) την κοηπίδια.

Η ανάβαθμη ζώνη εκτείνεται από την ακτογραφική μέχρι την ισοβαθμή των 5-6m, έχει μικρό ευρος (έως 110m), ομαλό ανάγλυφο και πολύ μικρές κλίσεις (4.5<%), όταν παρουσιάζει τη μέγιστη ανάπτυξη της.

Το πρανές εκτείνεται από την ισοβαθμή των 5-6m μέχρι την ισοβαθμή των 17-18m και χαρακτηρίζεται από μία μέση κλίση της τάξης του 10%. Σε ορισμένες θέσεις οι κλίσεις είναι αρκετά μεγάλες, με τιμή περίπου 20%.

Η ενότητα της κοηπίδιας η οποία εκτείνεται πέρα από την ισοβαθμή των 18m χαρακτηρίζεται από ομαλό ανάγλυφο και μικρές κλίσεις.

Στην επιβολή του χειμ. Ερατεινής έχει αναπτυχθεί ένα δέλτα, το οποίο εκτείνεται και υποθαλασσιώς. Στην επιβολή του χειμ. Τολοφώνα δεν υπάρχει διαμορφωμένο δέλτα στην ακτογραφική αλλά η γεωφυσική έρευνα έδειξε την παρουσία υποθαλασσιού δέλτα γεγονός που δηλώνει ότι οι επιφανειακές αποθέσεις του δέλτα έχουν διαβρωθεί από τότε που ο χείμαρρος σταμάτησε να μεταφέρει υλικό.

**ΓΕΩΛΟΓΙΚΕΣ ΕΠΙΚΙΝΔΥΝΟΤΗΤΕΣ:** Η θαλάσσια γεωφυσική διασκότηση κατά μήκος των ακτών της περιοχής Ερατεινής/Τολοφώνα έδειξε την ήταν άριστη κατολισθητικών φαινομένων, τα οποία προκάλεσε ο σεισμός των 6.1R της 15/6/1995. Τα κατολισθητικά φαινόμενα, τα οποία επιφανειακές αποθέσεις του δέλτα έχουν διαβρωθεί από τότε που ο χείμαρρος σταμάτησε να μεταφέρει υλικό.

**ΦΥΓΟΙΚΗ ΒΙΘΙΟΘΗΚΗ "ΘΕΟΦΡΑΣΤΟΣ" - ΤΙΜΗΣ ΓΕΩΛΟΓΙΑΣ Α.Π.Θ** Τα υλοτοπικά χωράφιτητοποιητικά που παρουσιάζουν στις

τομογραφίες και στις ηχογραφίες είναι διαγνωστικά και τυπικά του είδους της βαριτικής μετακίνησης που έλαβε χώρα (Prior et. al., 1984).

Ροές κοριμάτων εντοπίσθηκαν σε τρεις περιοχές: (i) στις εκβολές του χειμάρρου Τολοφώνα (ii) στην παραλία της Εφατεινής και (iii) στις εκβολές του χειμάρρου Εφατεινής (Εικ. 2b). Περιστροφές τεμαχών εντοπίσθηκαν στην ευρύτερη περιοχή των δελταϊκών αποθέσεων των προαναφερθέντων χειμάρρων (Εικ. 2b).

(i) Στις εκβολές του χειμ. Τολοφώνα, σε βάθος νερού 5m, όπου αρχίζει η μιοφολογική ενότητα του πρωνού, η οπή κοριμάτων επηρέασε το δυτικό τμήμα των υποβαθρών δελταϊκών αποθέσεων του χειμάρρου. Η οπή κοριμάτων έχει επιμηκες σχήμα και η μιοφολογία της διακρίνεται σε: (α) μέτωπο κεφαλής, (β) επιφάνεια ολίσθησης/ένωσης και (γ) λοιβό απόθεσης.

Το μέτωπο κεφαλής διακρίνεται από τον απότομο τεματισμό των σειομικών ανακλάσεων στις τομογραφίες και αναπτύσσεται στο όριο μετάβασης της ζώνης των αβαθών υδάτων στη ζώνη του πρωνού. Το πάχος των χαλαρών ιζημάτων που αποκολλήθηκαν κυμαίνεται από 7.5 έως 2.5m στο ανατολικό και δυτικό τμήμα του μετώπου αντίστοιχα. Τοπικά διαπιστώθηκε ότι τα πλευρικά μέτωπα είναι ασταθή και καταρρέουν. Η επιφάνεια ολίσθησης αναπτύσσεται κατά μήκος μίας διεπιφάνειας μέσα στα χαλαρά ιζηματα (Εικ. 3c,d), έχει μία χλίση τουλάχιστον 9% και η έκταση της είναι περίπου 38000m<sup>2</sup> (Εικ. 3a,c). Το σχήμα της επιφάνειας της ζώνης εκκένωσης ταυτίζεται περίπου με ένα ασύμμετρο τραπέζιο, η μεγούν μήκους πλευρά του οποίου σχετίζεται με το δυτικό πλευρικό μέτωπο, ύψους 2.5m, ενώ η μεγάλου μήκους πλευρά με το ανατολικό μέτωπο (ύψους 7.5m). Στις σειομικές καταγραφές παρατηρήθηκαν επίσης εναπομείναντα τεμάχη ιζημάτων να κείνται επάνω στη ζώνη εκκένωσης.

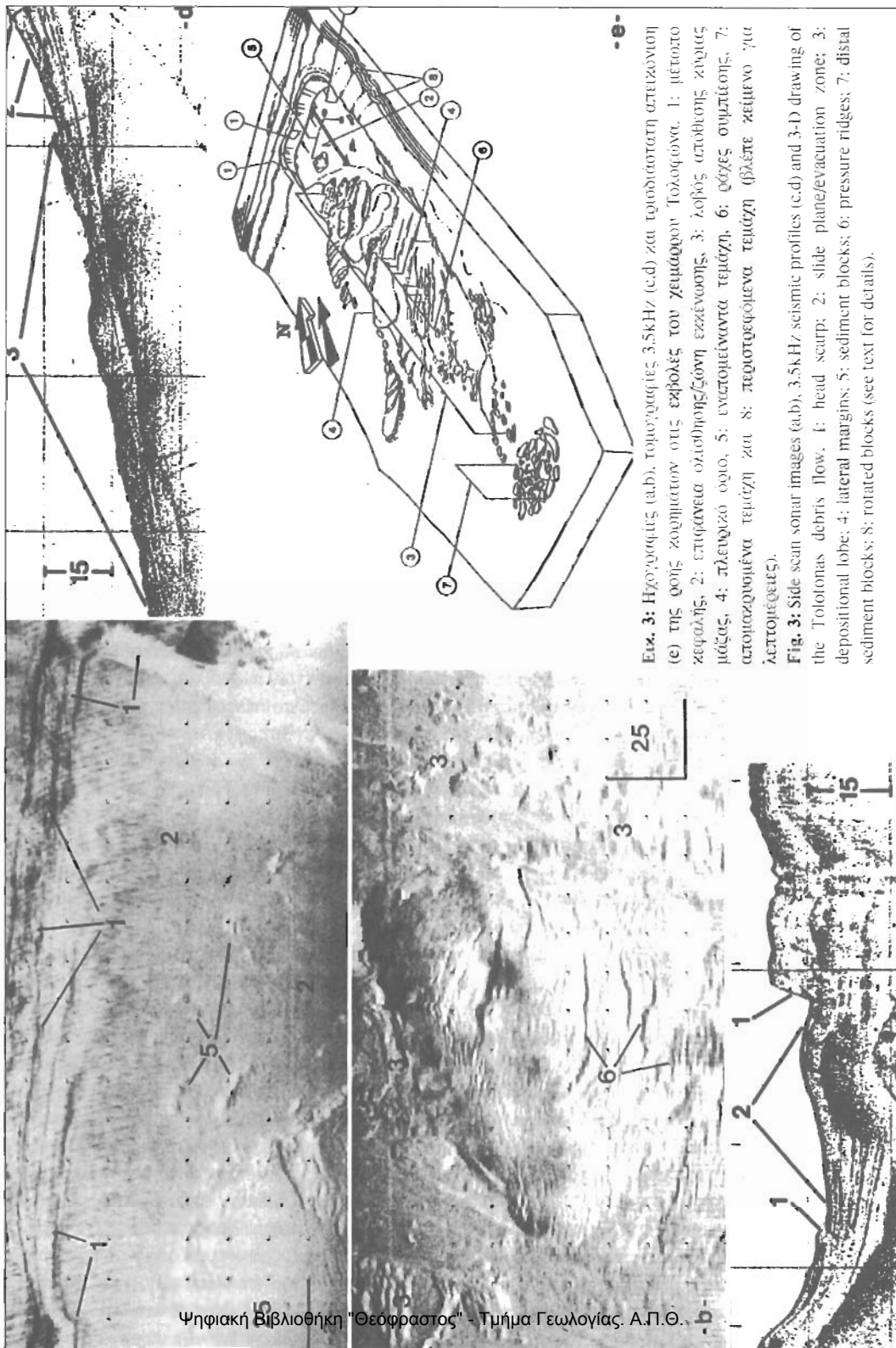
Κάτω από την επιφάνεια ολίσθησης διαπιστώθηκε μία περιοχή η οποία ακουστικά παρουσιάζεται σειομικονιασμένη λόγω της παρουσίας άρριψων υδρογονανθράκων ή/και χοντρόκοκκου μήκουν (π.χ. κροκάλες). Η πιθανή παρουσία και η ανοδική κίνηση των άρριψων υδρογονανθράκων διαμέσου των πόρων των ιζημάτων είναι δυνατό να αιχνήσει την πίεση του νερού των πόρων και άρα να ελαττώσει σημαντικά τη διατητική αντοχή των ιζημάτων (Whelan et al, 1975). Οι συνθήκες αυτές είναι δυνατό να επιταχυνθούν με την επιβολή εξωτερικών φορτίων (π.χ. σεισμών).

Η κύρια μάζα (λοιβός) απόθεσης της οπής κοριμάτων παρουσιάζεται όπως κυματοειδές λοιφοειδές ανάγλυφο στις τομογραφίες, με εμφάνιση, τοπικά, υπερβολικών ανακλάσεων, ημιδιαφανή έως χαώδη ακουστικό χαρακτήρα και φαίνεται ν' αποφεμνώνεται προς τα κατάντι (Εικ. 3d). Η σύνθετη μιοφολογία του λοιβού που διαπιστώθηκε στις σειομικές καταγραφές είναι αποτέλεσμα των διεργασιών που έδρασαν κατά τη μεταφορά και απόθεση τουν. Συγκεκριμένα ο λοιβός διακρίνεται στο άνω τμήμα όπου έλαβε χώρα η απόθεση της κύριας μάζας και εμφανίζει έντονο/τραχύ ανάγλυφο και στον πόδα ο οποίος παρουσιάζει πολύ χαμηλό (σχεδόν ομαλό) ανάγλυφο.

Η μη συνέχεια της επιφάνειας ολίσθησης κάτω από την κύρια μάζα απόθεσης, στις τομογραφίες, και ο εντοπισμός άλλων σειομικών ανακλάσεων, οι οποίοι σαφώς ανήκουν σε κατώτερες ιζηματογενείς σειρές, δηλώνουν ότι η απόθεση της κύριας μάζας ουκοδομήθηκε από αποκολλήθεντα ιζηματα τα οποία κατά τη μεταφορά τους διέβρωσαν τα υποκείμενα υγρή ιζηματα. Σε αντίθεση, οι αποθέσεις στον πόδα της οπής δε διέβρωσαν τα ιζηματα του πιθμένα αλλά αποτέλεσμα επάνω σ' αυτά.

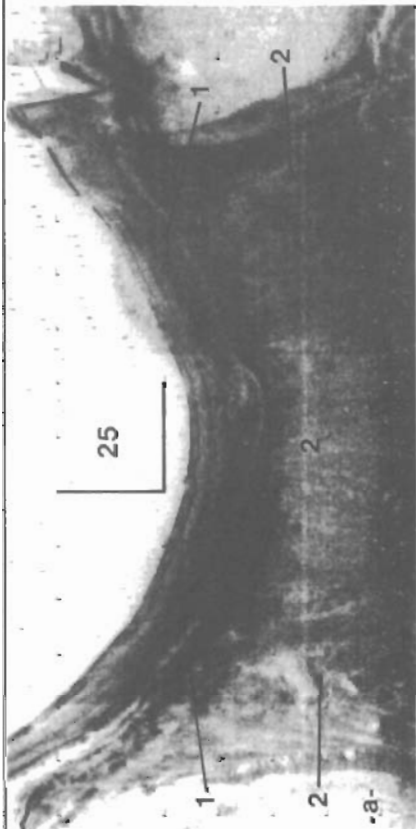
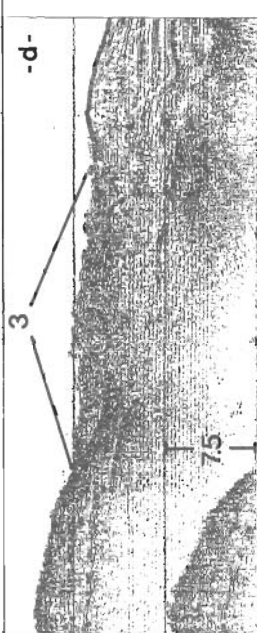
Επιπλέον διαπιστώθηκε η παρουσία περιοχών, αρχετά μακρύτερα από τον πόδα του λοιβού, όπου έλαβε χώρα απόθεση μεμονομένων τεμαχών. Τα τεμάχη αυτά φαίνεται ότι αποκολλήθηκαν και απομακρύνθηκαν από τον πόδα της οπής και αποτέλεσμα επάνω στα σύγχρονα ιζηματα. Τέτοιες περιοχές βρέθηκαν σε απόσταση έως και 1500m από το μέτωπο της κεφαλής, σε βάθη μεγαλύτερα από 70m και έχουν έκταση ακόμη και 30000m<sup>2</sup>. Μεμονωμένα τεμάχη ιζημάτων είναι δυνατό να έχουν μεταφερθεί ακόμα μακρύτερα, προς τα κατάντι, έξω από τα όρια της υπό μελέτης περιοχής.

Η κύρια μάζα απόθεσης χαρακτηρίζεται επίσης από δομές παραμονόφωνης, οι οποίες ουνίστανται από επιμήκεις και παραλληλές ράχες, κάθετες ή σχεδόν κάθετες προς την διεύθυνση της οπής. Οι δομές αυτές δημιουργούνται λόγω της απότομης επιβολής στην πρώτη ποτίσμα της οπής σε δυνάμεις τριβής που ανατινούνται μεταξύ των αποκολλήθεντων και των υγιών ιζημάτων, κατά τη



**Εικ. 3:** Ηχογραφίας (a,b), ραδιοφωνίες 3.5kHz (c,d) και τρισδιάστατη απεικόνιση (e) της φοίνικοπλατανάου επιφάνειας του χειμαρρού Τολογόνα. 1: μέτωπο ζεραής, 2: επιφανειακά οβιοφόρα/ζωνή σχέξυνσης, 3: λοβός απόθισης χωνεύματος, 4: πλευρικό ορόφο, 5: ενεργοποιητικά τεράζη, 6: οργές οπυγκίους, 7: απορροφούμενα τεράζη, 8: περιπορειώνα τελύχη (βλ.τε κείμενο για λεπτομέρειες).

**Fig. 3:** Side scan sonar images (a,b), 3.5kHz seismic profiles (c,d) and 3-D drawing of the Tolonaras debris flow. 1: head scarp; 2: slide plane/evacuation zone; 3: depositional lobe; 4: lateral margins; 5: sediment blocks; 6: rotated blocks; 7: pressure ridges; 8: sedimentary structures (see text for details).



Ψηφιακή Βιβλιοθήκη "Θεόφραστος" - Τμήμα Γεωλογίας. Α.Π.Θ.

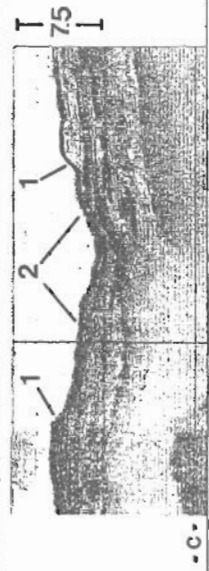


Fig. 4: Ηχογραφήσεις (a,b), τονογραφίες 3.5kHz (c,d) και τρισδιάστατη στεγνούντων (e) της ωος ζαφειρίτη στην πορεία της Φιρένης. 1: μέτωπο ζεφάλης, 2: επιφάνεια οδονθούσελών εργαλείων, 3: ισχυρή απόθετη γεώτρησης μούρου, 4: πλευρικό ορού. Α: πορά λόγω του στολίου του 1995, Β: φοή λόγω του 1965 (βάσει τελευταία λεπτομέρειες).

Fig. 4: Side scan sonar images (a,b), 3.5kHz seismic profiles (c,d) and 3-D drawing of the Fratini beach debris flow. 1: head scarp; 2: slide plane/evacuation zone; 3: depositional lobes; 4: lateral margins; A: 1995 debris flow; B: 1965 debris flow (see text for details).

Fig. 4: Ηχογραφήσεις (a,b), τονογραφίες 3.5kHz (c,d) και τρισδιάστατη στεγνούντων (e) της ωος ζαφειρίτη στην πορεία της Φιρένης. 1: μέτωπο ζεφάλης, 2: επιφάνεια οδονθούσελών εργαλείων, 3: ισχυρή απόθετη γεώτρησης μούρου, 4: πλευρικό ορού. Α: πορά λόγω του στολίου του 1995, Β: φοή λόγω του 1965 (βάσει τελευταία λεπτομέρειες).

Fig. 4: Side scan sonar images (a,b), 3.5kHz seismic profiles (c,d) and 3-D drawing of the Fratini beach debris flow. 1: head scarp; 2: slide plane/evacuation zone; 3: depositional lobes; 4: lateral margins; A: 1995 debris flow; B: 1965 debris flow (see text for details).

διάρκεια της προς τα κατάντι κίνησης των πρώτων (Prior et al, 1984). Οι ράγιες αναπτύσσονται κυρίως στο κεντρικό τμήμα της απόθεσης (κύρια μάζα λοβού) στις περιοχές όπου η φοή έχει σημειωθεί και υψηλή ιζήματα του πιθιμένα.

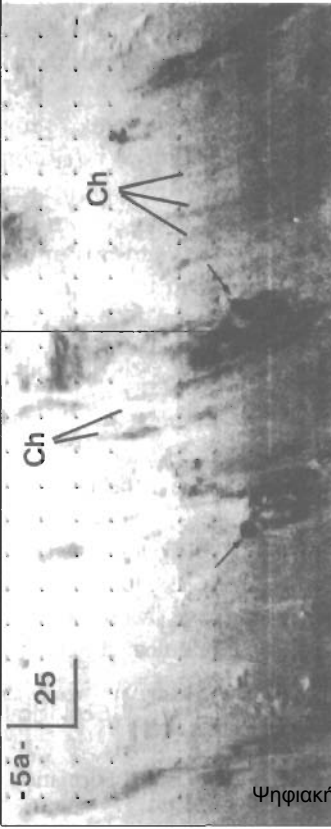
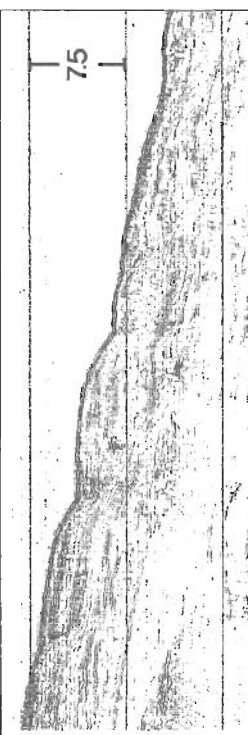
Τα πλευρικά περιθώρια του λοβού απόθεσης είναι συφή κυρίως στο ανατολικό του τμήμα, ενώ προς τα δυτικά παρατηρούνται περιοχές όπου οι αποθέσεις της φοής είτε αποκόππονται από την κύρια μάζα και ολισθαίνουν πάνω στα παρασείματα αδιατάξατα ιζήματα, είτε δημιουργούν δακτυλιόμορφες απόθεσεις (στο ανώτερο τμήμα της απόθεσης) οι οποίες χαρακτηρίζονται από δομής πυραμιδοφόρης (επιμέρεις και παραλλήλες ράγες). Ο λοβός απόθεσης φαίνεται ότι έχει μία γενική τάση αποσύνθεσης σε ΝΝΔ διεύθυνση.

(ii) Στην παραλία της Ερατεινής σε βάθος περίπου 6m, στην περιοχή όπου αρχίζει η μορφολογία ενότητα του πρανούς, τα χαλαρά ιζήματα μεταφέρθηκαν υπό μορφή φοής κοινημάτων προς τα κατάντι (Εικ. 4). Η φοή κοινημάτων, όπως και στην προηγούμενη περίπτωση, παρουσιάζει σχεδόν τα ίδια αποικιακά χαρακτηριστικά και διακρίνεται (α) στο μέτωπο κεφαλής, (β) στην επιφάνεια ολίσθησης/ώνη εκκένωσης και (γ) στο λοβό απόθεσης. Το μέτωπο κεφαλής βρίσκεται πολύ κοντά στην αποχραμψή και τα πλευρικά του περιθώρια, τοπικά, φαίνεται ότι αποσυντίθενται. Η έντονη ανακλαστικότητα (σκουρόχρωμη καταγραφή) της ζώνης εκκένωσης οτις ηχογραφίες (Εικ. 4a), οφείλεται στην αποκάλυψη είτε σηματαρικούμενων ιζημάτων είτε στην παρονοία χοντρόκοκκου νήσου το οποίο αποκαλύπτεται μετά την απομάκρυνση των επιφανειακών χάλαρών νήσων. Η επιφάνεια ολίσθησης έχει εμβαδό περίπου 3600m<sup>2</sup> και το μέσο πάχος των χαλαρών ιζημάτων που μεταφέρθηκε είναι 1.5-2m. Ο όγκος της φοής κοινημάτων υπολογίζεται περίπου σε 5400m<sup>3</sup>.

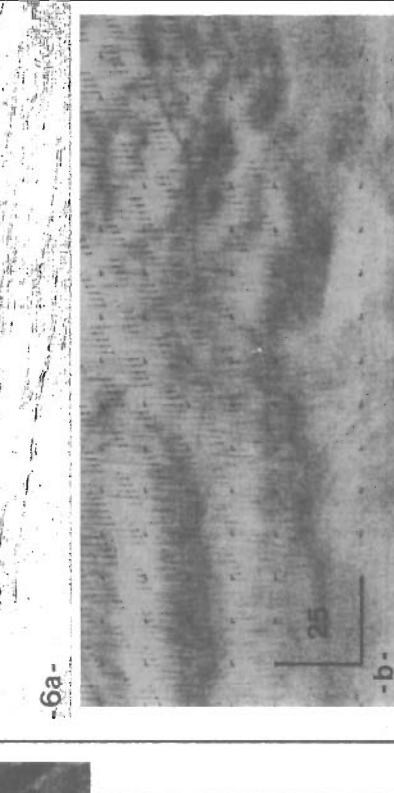
Η μελέτη των σεισμικών κατιεργαφών οδήγησε στο σημεριδασμα ότι η απόθεση της φοής κοινημάτων προέρχονται μάλλον από δύο επιφένων φοές. Η πρώτη (διτικό σχέλος) μάλλον αρχίζεται από το σεισμό των 6.5R του 1965 (Ambraseys, 1967) και η δεύτερη (ανατολικό σχέλος) από τον πρόσφατο σεισμό του 1995. Τα κύρια διαγνωστικά στοιχεία τα οποία οδηγούν στη διάκριση των φοών είναι: (α) Το ομαλό ανάγλυφο της πρώτης σε σχέση με το τραχύ/λιοφειδές της δεύτερης, χαρακτηριστικά που εντοπίστηκαν στις τοιχογραφίες αλλά και στις ηχογραφίες. Στις ηχογραφίες είναι εντυπωσιακή η μεταβολή της ανακλαστικότητας μεταξύ των δύο περιοχών. Η παλαιά (διτική απόθεση) έχει πολύ μικρότερη ανακλαστικότητα και πιο ομαλή μορφολογία σε σχέση με τη νέα (ανατολική) απόθεση, η οποία είναι καταστική από εναλλαγές έντονης ανακλαστικότητας και ηχητικών σημάνων (Εικ. 4a,b). Το γεγονός αυτό οφείλεται μάλλον στη διαφωτική άρση των κυριάτων τα οποία ομαλοποιούν το ανάγλυφο της απόθεσης, η οποία είχε αποτελεί άλλοτε σε περιβάλλον οηχών νερών. Αντίθετα η σιγηρούντη απόθεση δεν έχει ομαλοποιηθεί από τη δράση τους λόγω του μικρού χρόνου από το σηματισμό της. (β) Το γεγονός ότι δεν εντοπίστηκε στις τοιχογραφίες ένα ειρηνικό μέτωπο κεφαλής της αποκάλυψης ανάντι του διτικού τμήματος της απόθεσης απ' όπου θα μπορούσε να προέρχεται ολός ο όγκος απόθεσης της κύριας μάζας. Αντίθετα, διατυπώθηκε η ύπαρξη ενός οικοφόρου μετώπου, ανάντι του ανατολικού τμήματος της απόθεσης (Εικ. 4c), το οποίο προσέλεσε καταβύθιση μικρού τμήματος (μερικών μέτρων) της ακτής αφέως μετά το σεισμό της 15/6/1995. (γ) Η επαρή και η απόληξη προς τα κατάντι των αποθέσεων των δύο φοών φανερώνουν ένα σαφή διαχωρισμό (Εικ. 4b,c).

(iii) Στις ερβολές του χειμάρρου της Ερατεινής και σε αποστάσεις από 500 έως 1000m από το υποθαλάσσιο δέλτα του χειμάρρου, η ανάλιψη των τοιχογραφιών και των ηχογραφιών (Εικ. 5) δείχνει την ύπαρξη αυτοτελέων μαζών χαλαρών ιζημάτων να κείνται στην επιφάνεια του πιθιμένα. Η απόθεση έχει επιμήκεις οχήματα, έκτασης περίπου 200000m<sup>2</sup> και σημίταται από τεμάχη μεγέθους από 75 έως 500m<sup>2</sup> και μέσου πάχους 1.5m. Οι αποθέσεις αυτές πρέπει να είναι αποτέλεσμα μίας ή περιούδερφων φοών κοινημάτων που προκλήθηκαν στο παρελθόν και επρόσατον το υποθαλάσσιο δέλτα του χειμάρρου. Τοιχογραφίες και ηχογραφίες οι οποίες συλλέχθηκαν στην περιοχή του υποθαλάσσιου δέλτα δεν έδειξαν την ύπαρξη επτεταμένων μετώπων κεφαλής ή ζώνης εκκένωσης που να δικαιολογεί τον όγκο των προς τα κατάντι αποθέσεων. Από τα παραπάνω σημεριδασματικά ότι το σεισμό που αφήνει στη φοή κοινημάτων στην περιοχή της κεφαλής, πληρώνεται σχεδόν αμέσως από τις φρεγές θλες των χειμάρρου. Οι αποτελέσματα μαζεύσαντα στην ηχογραφή (Εικ. 5), διεργάζονται με τη δημιουργία

Ψηφιακή Βιβλιοθήκη "Θεόφραστος" - Τμήμα Γεωργίας, Α.Π.Θ.



Ψηφιακή Βιβλιοθήκη "Θεόφραστος" - Τμήμα Γεωλογίας, Α.Π.Θ.

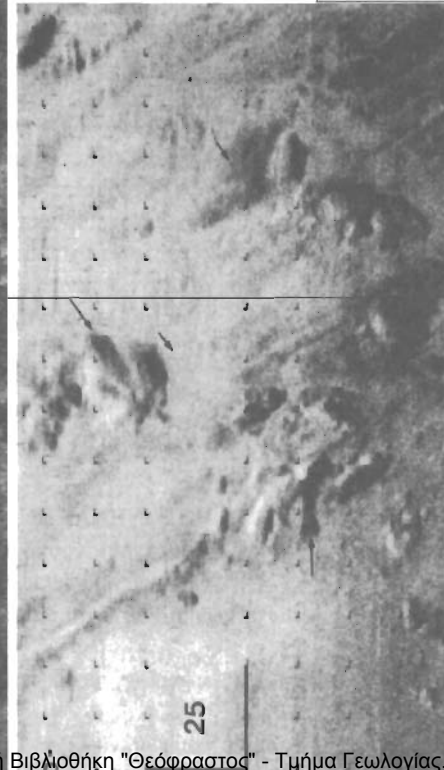


**Εικ. 5:** Ηλογραφίες (a,b) και τοκογραφία 3.5kHz (c), στο δέλτα του ζεμάδου της Ερτενής, στις οποίες φαίνονται μερικούμενα τεμάχια ψηλαρχών, διαφρόδων μεριών, νεαρής ηλικίας του επίφευτου. Ch: ανάκτη.

**Fig. 5:** Side scan sonar images (a,b) and 3.5kHz seismic profile (c), offshore Eratini fan delta, showing individual sediment blocks of various sizes, lying on the seafloor.  
Ch: chute.

**Εικ. 6:** Τοκογραφία 3.5 kHz (a) και ηλογραφία (b), στις οποίες φαίνονται περιτερούμενα τεμάχια ψηλαρχών.

**Fig. 6:** 3.5kHz seismic profile (a) and side-scan sonar image (b), showing rotated blocks.



-c-

οτον πιθανά γεωμορφών τύπου δακτυλιογλυφών οι οποίες έχουν διεύθυνση ΒΒΔ-ΝΝΑ-επί. Γεωμορφές αυτού του τύπου αποδίδονται γενικώς στη δράση φευγάτων πάνω από επίπεδο πιθανόν. Λαμβάνονται υπόψη (i) ότι οι δακτυλιογλυφές βρίσκονται στην επέκταση της κοίτης του ποταμού σε διεύθυνση ΝΔ-ΙΣΗ, (ii) την απονοία ισχυρών θαλάσσιων φευγάτων και (iii) τις μεγάλες παροχές του χειμάρρου το χειμώνα με φερτές ήλες, συνεπάγεται ότι οι γεωμορφές είναι προϊόν διάβρωσης / απόθετης στον πιθανό λόγω φευγάτων πυκνότητας οι οποίες κινούνται προς τα κατάντι υπό τη μορφή τυγχάνους ροής.

Οι περιστροφές τεμαχών συγκρετούνονται εκατέρωθεν του υποθαλάσσιου δέλτα του χειμάρρου Ερατεινής και στο ανατολικό τμήμα του δέλτα του χειμάρρου του Τολοφάνω (Εικ. 6). Στην περιοχή του χειμάρρου του Τολοφάνω η έκταση που επηρεάζεται από τα περιστρεφόμενα τεμάχη είναι 150000m<sup>2</sup> ενώ η αντίστοιχη έκταση στην περιοχή του χειμ. Ερατεινής είναι περίπου 170000m<sup>2</sup>.

Τα περιστρεφόμενα τεμάχη έχουν αναπτυχθεί πάνω στα σινγχρονα, γαλαζά ίζηματα και διαχρονίζονται μεταξύ τους από σιαφείς επιφάνειες διάτημησης. Το μέσο πάχος τους είναι 7.5m και το μέσο μήκος και εύρος ανάπτυξης είναι 25 και 60m, αντίστοιχα (Εικ. 6). Η μεταπότιση που δημιουργείται στην επιφάνεια του πιθανόν λόγω της περιστροφής είναι πολύ μικρή. Η μεταπότιση και η περιστροφή των τεμαχών γίνεται πάνω σε μία επιφάνεια μικρής κλίσης (<1°), στην οποία καταλήγουν οι επιφάνειες διάτημησης όλων των τεμαχών, με σχετικά κυματοειδές ανάγλυφο και σχεδόν διαφανή αποικιακό χαρακτήρα (Εικ. 6a). Η μορφολογία και ο ακονιστικός χαρακτήρας της επιφάνειας ολιοθησης, καθώς και το βάθος κάτω από την επιφάνεια του πιθανόν όπου εντοπίζεται, είναι δυνατό να δηλώνουν μερική φευγοτοποιηη με μικρή ή καθόλου κύνηση προς τα κατάντι (Myrow and Hiscock, 1991).

Γενικά, ο μηχανισμός πυροδότησης των κατολισθητικών φαινομένων που παρατηρήθηκαν, είναι δυνατό να αποδοθεί στην ολίσθηση των επιφανειακών στρωμάτων, πάχους μερικών μέτρων, πάνω σε μία επιφάνεια, λόγω αύξησης των διατημητικών τάσεων ή/και λόγω της φευγοτοποίησης ενός ορίζοντα κάτω από την επιφάνεια αυτή. Η αύξηση των διατημητικών τάσεων προήλθε από τη σεισμική δόνηση των 6.1R, ενώ η φευγοτοποίηση από την αύξηση της πίεσης του νερού των πόρων των ίζημάτων λόγω της κυριαρχίας τους φρότισης από το σεισμό.

Τέλος πρέπει να οηγειωθεί ότι όπως προκύπτει από τη βιβλιογραφική ανασκόπηση, οι ακτές των δυτικού Κορινθιακού κόλπου είναι από τις πλέον ευάλωτες ανά τον κόσμο, στην εκδήλωση κατολισθητικών φαινομένων. Δεν υπάρχουν παγκοσμίως, άλλες περιοχές εκτός από τα Νοοβριγιά και τα Καναδικά φιόρδ (Fjord) (Luternauer et. al., 1994) οι οποίες να επηρεάζονται τόσο έντονα από κατολισθητικά φαινόμενα. Λαμβάνονται υπόψη την έντονη τονογοτική και οικιστική ανάπτυξη της παραστατικής ζώνης του δυτικού Κορινθιακού, καθώς και το γεγονός ότι δεν έχουν σηματαρχεί μελέτες για την ευστάθεια των περιοχών αυτών, θα πρέπει σύντομα να ξεκινήσει μία ολοκληρωμένη μελέτη για τον προσδιορισμό των γεωλογικών επικινδυνοτήτων και για τη μελέτη της ευστάθειας των παράκτιων πραγών.

## ΒΙΒΛΙΟΓΡΑΦΙΑ

- AMBRASEYS, N., (1967). "The earthquakes of 1965-1966 in the Peloponnesos, Greece. A field report". Bull. Seismol. Soc. Amer., v. 57, pp. 1025-1046.
- ΓΑΛΛΑΝΟΠΟΥΛΟΣ, Α., ΛΕΛΗΜΠΑΣΗΣ, Ν. και ΚΟΜΙΝΗΝΑΚΗΣ, Π., (1964). "Θαλάσσιον κάμια εκ κατολισθήσεως άνευ σεισμικής διεγέρσεως". Γεωλογικά Χρονικά, τόμ. 16, σελ. 93-110.
- DOUTSOS, T. and POULIMENOS, G., (1992). "Geometry and kinematics of active faults and their seismotectonic significance in the western Corinth-Patras rift (Greece)". Jour. of Structural Geology, v. 14, pp. 689-699.
- LUTERNAUER, J. et. al., (1994). "Fraser river delta: geology, geohazards and human impact". Geological Survey of Canada Bull., v. 481, pp. 197-220.
- MYROW, P. and HISCOCK, R., (1991). "Shallow-water gravity-flow deposits, Chapel Island Formation, Φυσική Βιβλιοθήκη "Θεόφραστος"- Τμήμα Γεωλογίας Α.Π.Θ. southeast Newfoundland, Canada". Sedimentology, v. 38, pp. 935-959.

- PAPATHEODOROU, G. and FERENTINOS, G., (1997). "Submarine and coastal sediment failure triggered by the 1995, Ms=6.1R Aegion earthquake, Gulf of Corinth, Greece". *Marine Geology*, v. 137, pp. 287-304.
- PAPAZACHOS, B. and COMNINAKIS, P., (1982). "A catalogue of earthquakes in Greece and the surrounding area for the period 1901-1980". *Univer. Of Thessaloniki, Geophysical Laboratory, Publ. No 5.*
- PRIOR, D., BORNHOLD, B. and JOHNS, M., (1984). "Depositional characteristics of a submarine debris flow". *Jour. Of Geology*, v. 92, pp.707-727.
- WHELAN, T.A., COLEMAN, J.M. and SUYAYDA, J.N., (1975). "The geochemistry of recent Mississippi river delta sediments: gas concentration and sediment stability." *Offshore Technology Conference, Texas*, paper 2342, pp. 71-84.